

UDK 552.323.5:553.242.5/6.

Izvorni znanstveni članak

## Spiliti Samoborskog gorja

Vjekoslav BRAJDIĆ i Dragan BUKOVEC

*Hrvatski prirodoslovni muzej, Mineraloško petrografski odjel,  
Demetrova 1, YU—41000 Zagreb*

**Ključne riječi:** Spiliti, Niskotemperaturni albit, Retrogradni metamorfizam, Metasomatizam

**Key words:** Spilites, Low-temperature albite, Retrograde metamorphism, Metasomatism

Eruptivne stijene Samoborskog gorja pojavljuju se na površini od cca 8 km<sup>2</sup>, između Plješvice i Samobora.

Najviše izdanak nalazimo u predjelu između sela Prekrižje i Kotari, te oko sela Klake i Konjščica, a nešto manje na padinama prema selu Rude.

Kemijske analize, mikroskopska određivanja, IR spektroskopija i rendgenografska određivanja pokazala su da »eruptivi« Samoborskog gorja pripadaju spilitiziranim stijenama.

Igneous rocks from the Samobor mountains come insight at the surface of 8 km<sup>2</sup> between Plješivica moutain and Samobor.

Most of outcrops are situated between the village Prekrižje and Kotari, also near the village Klake and Konjščica. We find some outcrops also near the village Rude.

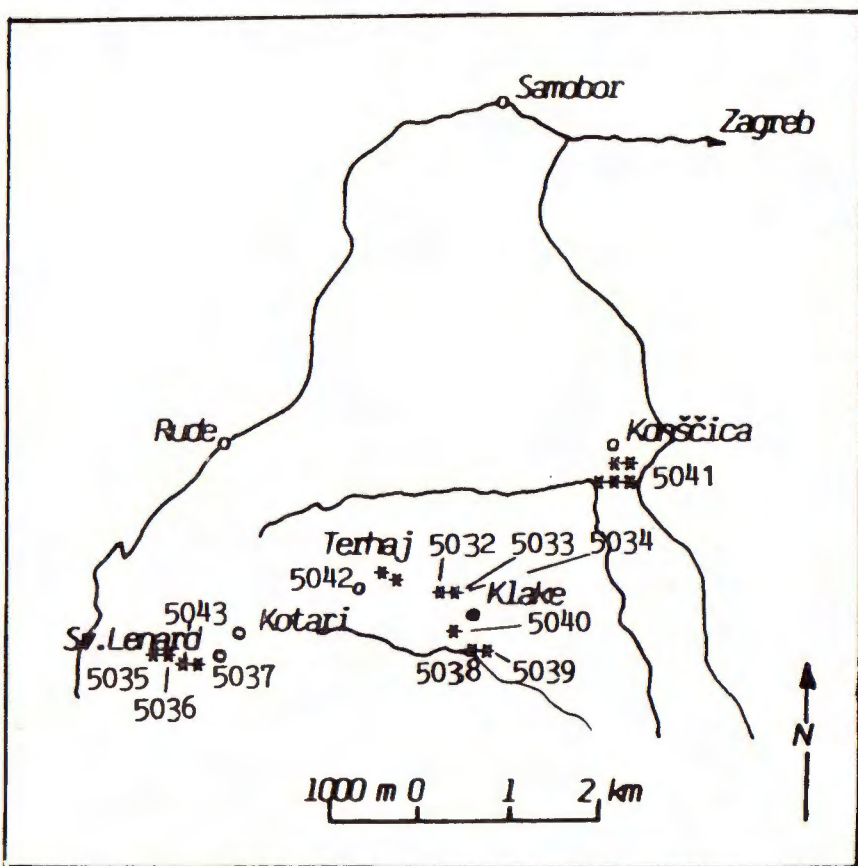
Chemical analyses, microscopic determinations, IR spectroscopy and X-rays determinations indicate that »igneous« rocks of Samobor mountains belong to spilitic rocks.

### UVOD

Na području Samoborskog gorja nalaze se izdanci eruptiva koji su gotovo sasvim prekriveni kvartarnim naslagama i uz koje su u pravilu vezana klizišta. Izdanci su vrlo mali, a kontakti s okolnim stijenama u pravilu nisu vidljivi. Eruptivi su veoma trošni, a po izgledu nalikuju na pješčenjake od kojih ih je teško razlikovati. Već lopom vidljiv je u pješčenjacima kremen dok su eruptivi »prošarani« kalcitnim žilama, a na pojedinim mjestima eruptive razlikujemo prema dimenziji zrna ili prema strukturi. Veći dio izdanača nalazi se u jarcima koji su obrasli šikarama.

Na preglednoj karti istraživanog područja (slika 1) prikazani su lokaliteti s kojih su prikupljeni uzorci za petrološku analizu.

Detaljnorn petrološkom analizom nastojao se rješiti sastav i geneza tih stijena.



Sl. 1 Pregledna karta istraživanog područja  
 Fig. 1 Index-map of the investigated area

#### PREGLED DOSADASNIH ISTRAŽIVANJA

Najstarije podatke o eruptivnim stijenama Samoborskog gorja nalazimo u radu Vukotinovića (1873). Vukotinović navodi, da dioritne stijene presjecaju u dva niza dolinu Ruda od sjeveroistoka prema jugozapadu, te da su dioriti tamnozeleni i »matt« i da su jako slični pješčenjacima tipa grauvake. Uzorke koje je sakupio na terenu kao grauvake, istom kasnije, kod detaljnog promatranja ustanovio je da su to »grünstein«.

Poljak (1911) u svom radu navodi da su klizišta mjestimice isprekrižana krpama eruptivnog kamenja (dijabaza) koje je takođe vrlo rasprošeno.

Gorjanović-Kramberger (1894) eruptivne stijene Samoborskog gorja dijeli u dvije vrste (dijabazi i melafiri), no u geološkoj karti nije ih posebno označio.

Mikroskopsko-petrografsку analizu izradio je kako navodi Gorjanović tadašnji asistent G. Bončev. Mikroskopskom analizom odredio je slijedeće stijene: melafir, dijabaz, kloritni škriljavac i jaspis.

Suklje (1932) navodi da eruptivi presjecaju nad Rudama kredne slojeve, no u mnogo manjem opsegu nego je to u svojoj karti označio Gorjanović.

Herak (1956) spominje eruptivne stijene na šesnaest lokaliteta. Mikroskopski pregled preparata izvršio je M. Tajder, na temelju kojih je spomenute stijene razvrstao u dvije serije, dijabazno spilitska serija i pravi efuzivi.

Herak i Nedela (1964) navode da su eruptivi Samoborskog gorja registrirani na više mjesta unutar pješčenjaka i da su klasificirani u dvije grupe i to: predstavnici dijabazno-spilitske serije i pravi efuzivi iz grupe andezita (M. Tajder), a da su pješčenjaci u okviru kojih se nalaze ovi eruptivi gornjokredni iako se ne isključuje mogućnost da se dijelom spuštaju i u donju kredu.

#### METODE I REZULTATI ISTRAŽIVANJA

U rješavanju problema geneze i klasifikacije stijena prikupljene uzorke istraživali smo mikroskopski (polarizacijskim i teodolitnim mikroskopom), a od 12 uzorka urađena je kemijska analiza. Za razrješavanje nekih problema koristili smo rendgensku difrakcijsku i infracrvenu spektroskopsku analizu.

#### Kemijska određivanja

Određivanja su izvršena gravimetrijskom kvantitativnom analizom po metodi Washingtona (1930).

Tabela — Table 1  
Kemijske analize eruptiva Klaka  
Chemical analyses of igneous rocks from Klake

	5032	5033	5034	5038	5039	5040
SiO <sub>2</sub>	46.05	45.72	55.43	43.01	41.96	38.71
TiO <sub>2</sub>	1.96	1.53	1.04	1.55	2.30	1.60
Al <sub>2</sub> O <sub>3</sub>	19.44	17.77	20.55	18.13	18.39	17.01
Fe <sub>2</sub> O <sub>3</sub>	1.78	3.75	2.21	2.14	7.42	4.38
Cr <sub>2</sub> O <sub>3</sub>	0.0	0.0	0.0	0.0	0.0	0.0
FeO	5.70	2.36	4.25	7.69	7.70	5.80
MnO	0.92	1.58	0.20	0.52	0.73	1.35
MgO	8.85	4.20	2.92	4.86	5.39	3.90
CaO	2.67	8.40	1.08	7.40	3.89	10.41
Na <sub>2</sub> O	4.21	4.87	7.37	3.19	4.62	4.42
K <sub>2</sub> O	0.24	0.19	0.58	0.04	0.22	0.21
P <sub>2</sub> O <sub>5</sub>	0.22	0.05	0.55	0.38	0.32	0.15
H <sub>2</sub> O <sup>+</sup>	4.41	2.92	3.25	5.28	3.70	3.94
H <sub>2</sub> O <sup>-</sup>	2.78	0.60	0.61	0.82	0.88	0.80
CO <sub>2</sub>	0.84	6.18	0.0	5.03	2.46	7.17
S	0.09	0.0	0.0	0.03	0.16	0.10
	100.16	100.12	100.04	100.07	100.14	100.15

Tabela — Table 2  
**Kemijske analize eruptiva Kotara i Sv. Lenarda**  
*Chemical analyses of igneous rocks from Kotari and Sv. Lenard*

	5035	5036	5037	5043
SiO <sub>2</sub>	44.18	32.38	42.01	45.11
TiO <sub>2</sub>	1.67	1.05	1.58	1.08
Al <sub>2</sub> O <sub>3</sub>	15.32	16.57	20.20	19.18
Fe <sub>2</sub> O <sub>3</sub>	1.30	6.08	8.35	3.30
Cr <sub>2</sub> O <sub>3</sub>	0.0	0.0	0.0	0.0
FeO	7.40	9.90	3.20	7.38
MnO	0.33	1.00	0.18	1.08
MgO	8.21	6.77	6.32	6.12
CaO	6.72	9.58	6.03	3.30
Na <sub>2</sub> O	3.73	1.68	2.78	5.26
K <sub>2</sub> O	0.18	0.87	0.94	0.25
P <sub>2</sub> O <sub>5</sub>	0.20	0.14	0.53	0.34
H <sub>2</sub> O <sup>+</sup>	5.36	6.50	4.77	4.58
H <sub>2</sub> O <sup>-</sup>	0.85	1.17	2.11	1.03
CO <sub>2</sub>	4.52	6.41	1.35	2.05
S	0.12	0.0	0.0	0.06
	100.09	100.10	100.35	100.12

Tabela — Table 3  
**Kemijska analiza eruptiva Konjščice**  
*Chemical analysis of igneous rock from Konjščica*

5041

SiO <sub>2</sub>	46.57
TiO <sub>2</sub>	1.62
Al <sub>2</sub> O <sub>3</sub>	17.08
Fe <sub>2</sub> O <sub>3</sub>	2.27
Cr <sub>2</sub> O <sub>3</sub>	0.05
FeO	7.90
MnO	0.16
MgO	4.81
CaO	6.03
Na <sub>2</sub> O	4.30
K <sub>2</sub> O	0.27
P <sub>2</sub> O <sub>5</sub>	0.0
H <sub>2</sub> O <sup>+</sup>	3.89
H <sub>2</sub> O <sup>-</sup>	1.00
CO <sub>2</sub>	4.10
S	0.10
	100.15

Tabela — Table 4  
**Kemijska analiza eruptiva Terhaja**  
*Chemical analysis of igneous rock from Terhaj*

5042

SiO <sub>2</sub>	46.51
TiO <sub>2</sub>	1.27
Al <sub>2</sub> O <sub>3</sub>	17.05
Fe <sub>2</sub> O <sub>3</sub>	4.48
Cr <sub>2</sub> O <sub>3</sub>	0.0
FeO	8.55
MnO	0.27
MgO	10.21
CaO	2.24
Na <sub>2</sub> O	2.42
K <sub>2</sub> O	0.22
P <sub>2</sub> O <sub>5</sub>	0.06
H <sub>2</sub> O <sup>+</sup>	5.75
H <sub>2</sub> O <sup>-</sup>	0.78
CO <sub>2</sub>	0.0
S	0.0
	99.81

Tabela — Table 5

Normativni sastav plagioklasa po CIPW-u, Nigglijevi parametri i bazisi po Niggiju  
*Normative CIPW composition for plagioclase, Niggli's values and Niggli's bases*

	5032	5033	5034	5038	5039	5040	5035	5036	5037	5043	5041	5042
an %	15.37	4.39	3.34	7.98	5.76	13.08	11.70	30.53	43.62	4.08	10.18	33.00
si	123	162	182	141	127	126	132	87	110	126	151	119
al	31	37	40	35	33	32	27	26	31	31	33	26
fm	54	44	32	51	51	49	59	64	48	52	51	62
c	5	2	4	3	2	4	3	4	12	2	3	6
alk	11	17	25	10	14	14	11	6	9	15	14	6
k	0.04	0.02	0.05	0.00	0.03	0.03	0.03	0.26	0.18	0.03	0.04	0.05
mg	0.66	0.51	0.45	0.46	0.27	0.38	0.62	0.42	0.51	0.49	0.46	0.63
qz	-21	-6	-18	+1	-29	-34	-12	-37	-26	-34	-5	-5
Magme	normal-gabro-dioritska	mugaeritska	mela-gabro-idna	natronlampro-sijenitska	normal-gabro-dioritska	normal-gabro-dioritska	essexit-gabro-d.	natron-lam-prosij.	normal-diorit.	normal-gabro-d.		
Q	33	39	36	41	33	32	36	25	34	30	31	34
L	32	37	48	27	36	38	30	22	32	37	31	21
M	35	24	15	32	31	30	34	53	34	33	38	45

U analiziranim stijenama postotak  $\text{SiO}_2$  varira od 32.38 (Tabela 2, uzorak 5036) do 55.43 (Tabela 1, uzorak 5034),  $\text{Na}_2\text{O}$  od 1.68 (Tabela 2, uzorak 5036) do 7.37 (Tabela 1, uzorak 5034). U uzorcima 5036 (Tabela 2) i 5039 (Tabela 1) povećana je koncentracija  $\text{FeO} + \text{Fe}_2\text{O}_3$  dok je u uzorku 5042 (Tabela 4) povećana koncentracija  $\text{MgO}$ .

Analize preračunate na 100 %, uz odstranjivanje  $\text{CaCO}_3$ , korištene su za izračunavanje normativnog sastava plagioklasa po CIPW-u, Nigglijevih parametara i baziza po Niggiju (Tabela 5).

### Optička određivanja

Prema makroskopskom izgledu, stijene smo podijelili u tri grupe: homogene krupnozrnate s vidljivom ofitskom strukturom (5041, 5042, 5043), sitnozrnate gусте (5032, 5033, 5034, 5035, 5036, 5037, 5038, 5039, 5044) i brečaste varijetete (5040, 5045). Mikroskopskim određivanjem zapažene su mineralne i strukturne razlike na temelju čega su sitnozrnati varijeteti razvrstani u tri podgrupe.

#### Homogene krupnozrnate stijene

Najpogodniji uzorci za istraživanje svakako su krupnozrnate tamnozelene stijene koje nalazimo na području Klaka, Terhaja i Sv. Lenarda. Tipične su ofitske strukture (Tabla II, slika 1 i 2).

Mineralni sastav je raznovrsniji od ostalih grupa, pa uz klorit i plagioklase sadrže i nešto kremena i zeolite.

Plagioklasi su štapičasta habitusa veličine do 0.6 mm, javljaju se kao dvojci i kao polisintetski sraslaci, a rjeđe kao trojci. Plagioklasi su svježi pa samim time pogodni za mjerjenja, no kod nekih se ipak zapažaju produkti izmjene.

Prema podacima mjerena — Tabela 6 (teodolitnim mikroskopom) plagioklasi su albiti; srednja vrijednost anortitske komponente je 5 % uz veoma varijabilan kut optičkih osi  $2V_z$  od  $84^\circ$  do  $100^\circ$ . Tako velika odstupanja kuta optičkih osi moguća su (po K a a d e n u, 1951) kod spilita.

Opaki minerali su slabo zastupljeni i to pretežno ilmenit.

#### Sitnozrnate gусте stijene

Drugu grupu čine gustozrnate svjetlozelene stijene koje su i najzastupljenije u Samoborskom gorju. Nalazimo ih na sva četiri lokaliteta. Uzorci 5032, 5033, 5035, 5044 pokazuju reliktnu ofitsku strukturu (Tabla I, slika 1), a znatno im je povećan sadržaj opakih minerala prvenstveno magnesita i hematita, te nešto manje ilmenita.

U uzorcima 5034, 5036, 5037 povećana je količina ilmenita koji je većim dijelom limonitiziran, a sačuvane su i forme augita (Tabla I, slika 2) koji je u potpunosti kloritiziran. Struktura u tim uzorcima je porfirna.

U uzorcima 5032, 5038 i 5039 uočavaju se mandule ispunjene kloritom i kalcitom, a veoma rijetko kremenom. Struktura im je mandulasta (Tabla I, slika 3).

Za sve uzorke ove grupe karakteristično je da imaju isti mineralni sastav i to plagioklas albit (određen prema Beckeovoj liniji) koji je veći-

nom trošan, s uklopcima klorita te nešto svježije plagioklase (sastav im je određen teodolitnim mikroskopom) čija je srednja vrijednost anortitske komponente 6 % (Tabela 6).

Uz albit prisutni su klorit, opaki minerali magnetit, hematit, i ilmenit. Žilice su ispunjene sekundarnim kalcitom i manje kalcedonom.

### Brečaste stijene

Na pojedinim mjestima u Klakama stijene su brečastog izgleda. Mikroskopskim određivanjem utvrđeno je da su fragmenti spilitske stijene (Tabla II, slika 1) čije su šupljine ispunjene kalcitom i djelomično devitriificiranim vulkanskim stakлом koje je limonitizirano. Vezivo je karbonatno uz mjestimično prisutan limonit.

Tabela — *Table 6*  
Rezultati teodolitnog mjerjenja plagioklase  
*Results of theodolitic measuring on plagioclase*

Uzorak br.	% an komponente	2Vz	Lokalitet	Broj zrna
5044	4.25	89°	(Klake)	6
5039	7.00	84.5°	(Klake)	4
5046	3.65	93°	(Klake)	2
5047	5.24	93°	(Konjčica)	8
5041	2.90	96°	(Konjčica)	4
5042	7.00	100°	(Terhaj)	3
5043	1.05	97°	(Sv. Lenard)	5

### Rendgenografska određivanja

Prilikom mikroskopiranja izbruska br. 5041 primjećena su vrlo sitna nedovoljno dobro prepoznatljiva zrna koja su nalikovala na zrnca kremina pa se pribjeglo rendgenografskim određivanjima, uz to determinirani su minerali prisutni u uzorku.

Zbog sitnozrnatosti uzorka i većim djelom kloritiziranih feldspata separacija pojedinih minerala nije bila moguća pa je snimljen uzorak u cijelosti.

Snimanje je izvršeno na Philipsovom vertikalnom rendgenskom goniometru za prah uz zračenje od bakarne antikatode i grafitni monokromator i standardne uvjete snimanja.

### Determinacija rendgenograma

Iz rendgenograma praha dobiveni su slijedeći podaci:

— u uzorku br. 5043 registrirani su minerali klorit, plagioklas i kalcit. Uz to određen je stupanj sređenosti plagioklase (po metodi Kroll i Ribbe, 1980) i dobiveni podaci ukazuju na niskotemperaturni albit što je u skladu s dobivenim podacima na IR-u;

— u uzorku br. 5041 registrirani su minerali klorit, albit, kremen, kalcit i analcim.

O feldspatu dobiveni su približno jednaki podaci kao i za uzorak br. 5043.

### Metode dopiranja u kvantitativnoj rendgenskoj difrakcijskoj faznoj analizi

Metodom dopiranja udjela neke komponente jednokratnim dopiranjem koju su predložili Bežjak i Jelenić (1971) uspjeli smo odrediti ukupnu količinu kremena u uzorku br. 5041.

#### Uzorak br. 5041

težina uzorka	0.4718 g.
SiO <sub>2</sub>	0.1270 g.
Suma	0.5988 g.

Za račun uzet je maksimum kremena na  $10.43^\circ \Theta$  i maksimum albita na  $11.05^\circ \Theta$ , a računani interval je od  $10.00$ — $11.25^\circ \Theta$ . Uvjeti snimanja bili su: napon  $40$  kW, struja  $30$  mA,  $1^\circ$  divergencije  $10 \times 3$  CPS, vremenska konstanta  $4$  sekunde, brzina goniometra  $1/8^\circ$   $2 \Theta/\text{min}$ , brzina papira  $0.25$  cm/min te ispis printerom svakih deset sekundi.

Snimanje je izvršeno dva puta pod istim uvjetima da se utočne dobiveni rezultati.

#### Prvo mjerjenje:

$$\begin{array}{ll} \text{čisti uzorak: } I_q = 3801 & \text{dopirani uzorak: } I_q = 11252 \\ I_{Ab} = 4739 & I_{Ab} = 6266 \end{array}$$

#### Druge mjerjenje:

$$\begin{array}{ll} \text{čisti uzorak: } I_q = 3767 & \text{dopirani uzorak: } I_q = 11050 \\ I_{Ab} = 5178 & I_{Ab} = 5847 \end{array}$$

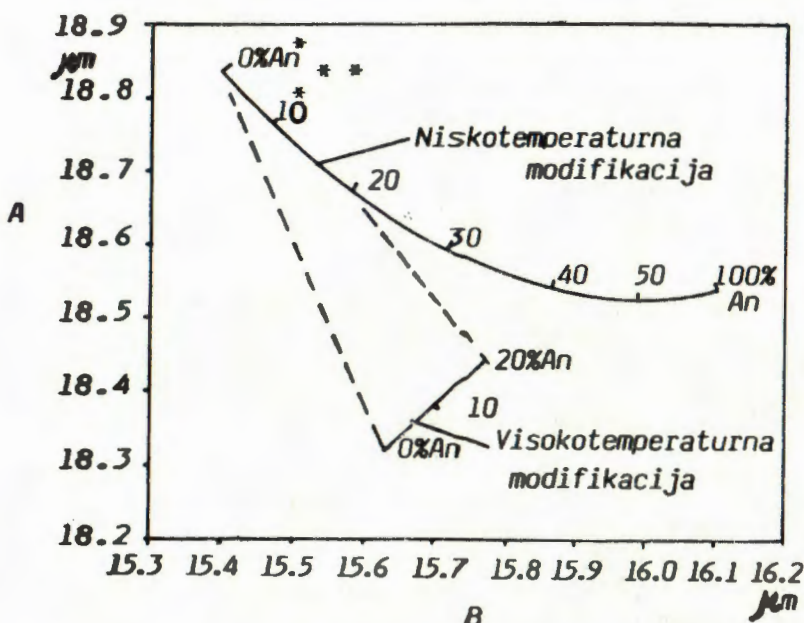
$$\text{Iz jednadžbe } X = \frac{\frac{Q}{Q+U} + \frac{I_a' \cdot I_q}{I_a \cdot I_q'}}{\left(1 - \frac{Q}{Q+U}\right) \left(1 - \frac{I_a' \cdot I_q}{I_q' \cdot I_a}\right)}$$

izračunate su vrijednosti za postotak kremena u uzorku i dobivena je srednja vrijednost od  $19.75\%$ .

(Q — masa primješanog kremena, U — masa uzorka, I<sub>a</sub>, I<sub>q</sub> — intenziteti u čistom uzorku i I<sub>a'</sub>, I<sub>q'</sub> — intenziteti u dopiranom uzorku.)

### Infracrvena spektroskopija

Snimljeni su infracrveni apsorpcijski spektri 4 referentna uzorka na IR spektrometu Perkin Elmer uz KBr plastilu (zbog same prirode uzorka nije se plagioklas mogao u potpunosti izdvojiti).



Sl. 2 Podaci IR spektra naneseni u dijagram Hafnera i Lavesa

Fig. 2 Data of IR spectra plotted on the diagram of Hafner and Laves

Vrijednosti karakterističnih apsoncijskih vrpci naneseni su na dijagram Hafnera i Lavesa (1957) — slika 2, i očitane vrijednosti dale su podatak da se radi o niskotemperaturnim albitima sa srednjom vrijednosti od 8 % anortitske komponente.

Uzorak br. 5032	B = 15.48 $\mu\text{m}$	A = 18.80 $\mu\text{m}$
Uzorak br. 5040	B = 15.60 $\mu\text{m}$	A = 18.83 $\mu\text{m}$
Uzorak br. 5041	B = 15.48 $\mu\text{m}$	A = 18.87 $\mu\text{m}$
Uzorak br. 5043	B = 15.55 $\mu\text{m}$	A = 18.83 $\mu\text{m}$

#### DISKUSIJA I ZAKLJUČAK

Istraživane »eruptivne« stijene Samoborskog gorja pripadaju spilitima.

Izdanci eruptiva veoma su trošni i obično se nalaze uz pješčenjake gornje krede. Eruptivi nalikuju na pješčenjake pa ih je makroskopski teško međusobno razlikovati. U pravilu uz pojavu spilita javljaju se i klizišta. Kontakti s okolnim stijenama nisu vidljivi jer je veći dio izdanca pokriven kvartarnim naslagama. U mikroskopskom preparatu pješčenjaka pronađeni su klasti spilita, pa bi se moglo zaključiti da su spiliti barem djelomično stariji od pješčenjaka gornje krede.

Makrofiziografski stijene smo podijelili u tri grupe:

- Krupnozrnnati spiliti s tipičnom ofitskom strukturu
- Sitnozrnnati spiliti s reliktnom ofitskom strukturu
- Brečasti spiliti

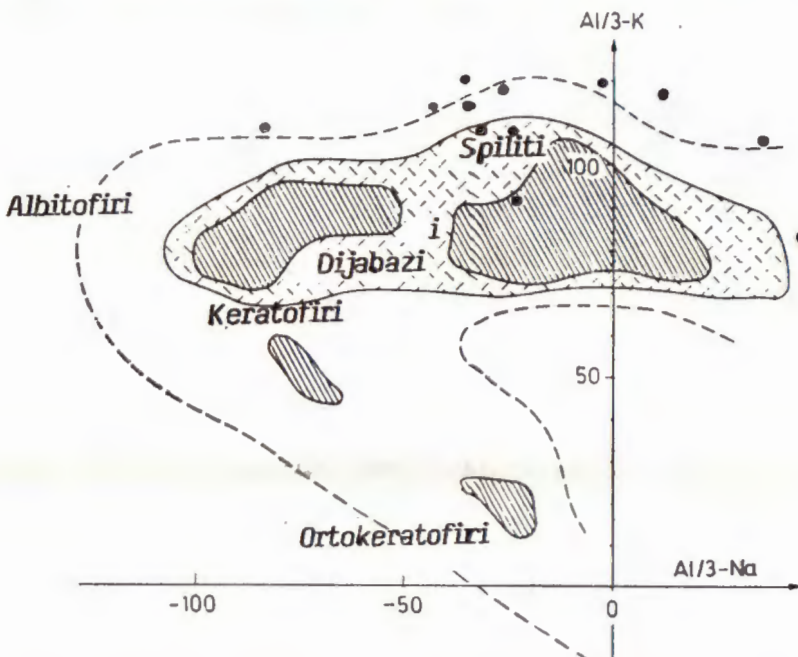
Mikrofiziografski najpogodnija grupa stijena za istraživanje su krupnozrnnati spiliti (Tabla II slika 2 i 3). U stijeni je određen mineralni sastav pa su uz plagioklas albit (Tabela 6) prisutni klorit, sekundarni kremen (kalcedon), zeolit nastao devitrifikacijom vulkanskog stakla i sekundarni kalcit koji ispunjava šupljine.

Mikroskopski sitnozrnnate spilite podijelili smo u tri podgrupe; sitnozrnnati gusti spiliti s reliktnom ofitskom strukturu (Tabla I slika 1), sitnozrnnati spiliti, s porfirnom strukturu, kod kojih su sačuvane forme piroksena augita (Tabla I slika 2) i spiliti s mandulastom strukturu (Tabla I slika 3) kod kojih su mandule ispunjene kalcitom i rjeđe kremenom.

Za čitavu ovu grupu karakteristična je povećana koncentracija opačkih minerala.

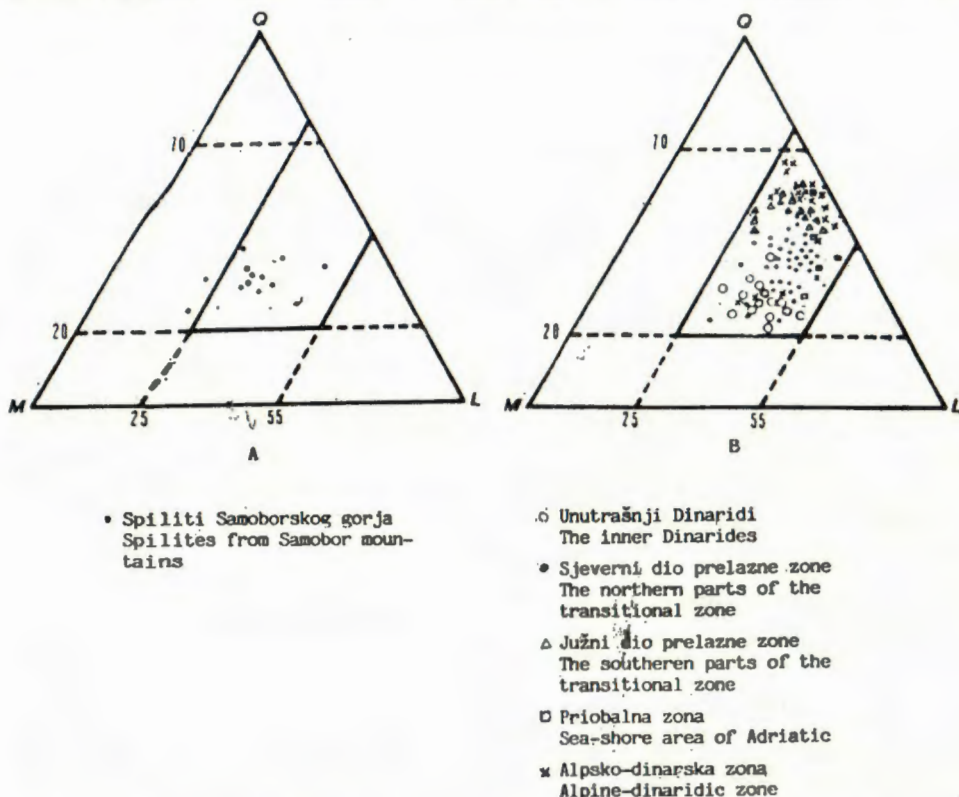
U mjestu Klake našli smo uzorke brečastog izgleda. Fragmenti su spilitizirane stijene mandulaste strukture i sadrže devitrificirano vulkansko staklo, a povezane su kalcitnim i limonitnim vezivom (Tabla II slika 1).

Mineralna parageneza Samoborskih spilita je niskotemperaturni albit (određen prema Beckeovoj liniji, teodolitnim mikroskopom, IR-om sli-



Sl. 3 Dijagram Al, Na, K (preuzeto od de la Roche, Rocci i Juteau 1974)

Fig. 3 Diagram Al, Na, K (taken over from de la Roche, Rocci and Juteau 1974)



Sl. 4 Q-L-M dijagram (korelacija s podacima spilitskih zona, po Pamiću 1974)  
Fig. 4 Q-L-M diagram (corelation with Spilitic zones, taken over from Pamić 1974)

ka 2, a postoje i rendgenografske indikacije), klorit, opaki minerali magnetit, ilmenit i hematit te zeolit analcim i kremen (određeni rendgenografski).

Iz kvantitativnih kemijskih analiza stijena takođe se vidi da istraživani varijeteti pripadaju spilitima. To su natrijem bogate stijene sa srednjim sastavom od 4.07% Na<sub>2</sub>O. Naročito velika koncentracija Na<sub>2</sub>O prisutna je u uzorcima kod mjesta Klake (do 7.37% Tabela 1).

Kod mjesta Kotari i Sv. Lenard uočljiv je na bazi koncentracije Na<sub>2</sub>O (1.68—5.26% Tabela 2) prelaz od normalnih do spilitiziranih bazalta. Količina natrija u uzorcima s lokaliteta Konjščica i Terhaj (Tabele 3 i 4) ima više manje ujednačen visok postotak karakterističan za spilite.

Iz dijagrama Al, Na, K (prema la Roche & all 1974) (slika 3) vidi se da analizirane stijene Samoborske gore padaju na rubno područje spilita i kvarckeratofira.

Korelirajući podatke po Q-L-M dijagramu s podacima spilita iz zone Dinarida (po Pamiću 1974) (slika 4b) vidimo da se spiliti Samoborskog gorja (slika 4a) uklapaju među spilite sjeverne prelazne zone a na gra-

nici sa spilitima unutrašnjih Dinarida što navodi na zaključak da su spili Samoborskog gorja logični nastavak ofiolitne zone koja se proteže iz sjeverne Bosne.

Iz podataka kemijskih analiza i mikroskopskih istraživanja uočava se sličnost sa spilitskim stijenama sela Lasinja (Majer & Tišljarić 1973).

Albitizirani niskotemperaturni plagioklasi, kloritizirani feromagnezijski minerali, dosta sekundarnog kalcita i kremena ukazuju na niskotemperaturnu paragenezu tipičnu za spilitske stijene. Svi podaci ukazuju da se spilitizacija odvijala u niskotemperaturnim uvjetima koji se mogu objasniti kao retrogradni metamorfni procesi koje često prate metasomatske izmjene.

Albitizacija i kloritizacija vjerojatno su vezane za reakcije koje su se zbivale u marinjskoj sredini.

Zahvaljujemo se dr Marti Crnjaković, prof. dr Veri Marci, doc. dr Tonči Babić-Žuniću na pomoći te svima ostalima koji su svojim sugestijama pomogli u realizaciji ovog rada.

Istraživani materijal nalazi se pohranjen u Mineraloško petrografskom odjelu Hrvatskog prirodoslovnog muzeja u Zagrebu.

*Primljeno: 12. 01. 1989.*

#### LITERATURA

- Fediuk, F. (1961): Fjodorovska mikroskopicka metoda. Nakladatelství Československé Akademie Ved. p. 185, Praha.
- Gorjanović-Kramberger, D. (1894): Geologija gore Samoborske i Žumberačke. *Rad Jugosl. acad. znan. umjet.* 19, 3—71, Zagreb.
- Hafner, S. & Laves, F. (1957): Ordnung-Unordnung und Ultrarotabsorption. II Variation der Lage und Intensität einiger Absorptionen von Feldspäten. Zur Struktur von Orthoklas und Adular. *Z. Kristallogr.*, 109, 204—225, Leipzig.
- Herak, M. (1956): Geologija Samoborskog gorja. *Acta geol. I, Prir. istr. Jugosl. akad. zna. umjet.* 27, 49—73, Zagreb.
- Herak, M. & Nedela-Dević, D. (1964): Geologija Zagrebačke regije. Arh. Geogr. inst. Zagreb. (neobjavljeno)
- Hyndman, D. W. (1972): Petrology of Igneous and Metamorphic Rocks. McGraw-Hill book company. p. 533, New York.
- Kaaden, G. van der (1951): Optical studies on natural plagioclase feldspars with high- and low-temperature-optics. p. 105, Diss. Utrecht.
- Kroll, H. & Ribbe, P. H. (1980): Determinative diagrams for Al, Si order in plagioklasses. *Amer. Mineral.*, 65, 449—457, Washington.
- La Roche, H., de Rocci, G., Juteau, Th. (1974): Essai de Caracterisation Chimique des Associations Spilitiques. U: Amstutz, G. C. (ured.): Spilites and Spilitic Rocks. Springer-Verlag, p. VI + 483, Berlin.
- Majer, V. & Tišljarić, J. (1973): Spilitske stijene kod sela Lasinja u Pokuplju (Hrvatska, Jugoslavija). *Geol. Vjesnik*, 25, 211—225, Zagreb.
- Marci, V. (1987): Mineralne parageneze u mandulama lava sa Ivančiće. *Geol. Vjesnik*, 40, 131—138, Zagreb.
- Pamćić, J. (1974): Middle Triassic Spilite-Keratophyre Association of the Dinarides and Its Position in Alpine Magmatic-Tectonic Cycle. U: Amstutz, G. C. (ured.): Spilites and Spilitic Rocks. Springer-Verlag, p. VI + 482, Berlin.
- Popović, & al. (1987): Metode dopiranja u Kvantitativnoj rendgenskoj difrakcijskoj analizi. *Kem. Ind.*, 36 (1), 1—7, Zagreb.
- Poljak, J. (1911): Spuzivanje brijege između Poljanice i Popov dola u Samoborskoj gori. *Glasnik Hrv. prir. društva*, 23/3, 40—45, Zagreb.

- Suklje, F. (1932): Prilog geologiji Samoborske gore (Ein Beitrag zur Geologie der Samoborska Gora). *Vjesnik Geol. istit.*, 1/2, 55—67, Beograd.
- Troeger, W. E. (1971): Optische Bestimmung der gesteinsbildenden Minerale. Teil 1: Bestimmungstabellen. 4. Aufl., p. 188, Stuttgart.
- Vukotinović, Lj. (1873): Rude bei Samobor in Cratien. *Verh. Geol. Reichsanst.*, H. 2, 26—30, Wien.
- Washington, H. S. (1930): The Chemical Analyses of Rocks. John Wiley & Sons. Inc, p. 296, New York.

### Spilitic Rocks from Samobor mountains

V. Brajdić & D. Bukovec

Igneous rocks from Samobor mountains are very often covered with the Quaternary sediments. As a rule igneous rocks are connected with the slides.

Spilites from Samobor mountains can be divided as:

- 1) Coarse-grained Spilites with »diabase« texture.
- 2) Fine-grained Spilites with relict »diabase« texture.
- 3) Breccia Spilites

Microscopically all groups have the same mineral composition but textures varies from »diabase« to porphyritic (Table II, fig. 2 and 3, and Table I, fig. 2).

Main minerals in the rocks are low-temperatured plagioclase albite (determinated by Becke line, theodolitic microscope, IR spectroscopy; fig. 2 and by X-rays investigations) and chlorite. Content of ilmenite, magnetite and hematite vary from group to group.

By X-ray we recognize quartz and analcime.

Spilite grains in sandstones surrounding the Spilites in Samobor mountains, show that Spilites partly could be older than the Upper Cretaceous.

Obtained results from the chemical analyses (Table 1, 2, 3, 4) indicate that igneous rocks belong to the Spilites.

Q-L-M diagram of Dinaridic Spilites (from Pamić 1974 fig. 4B) corelating by Spilites from Samobor mountains (fig. 4A) show as that investigated Spilites could belong to the northern parts of the transitional zone between outer and inner Dinarides. Albited low-temperature plagioclase, chloritized ferromagnesian minerals, secondary calcite and quartz may be explained by the retrograde metamorphism and metasomatic processes.

Elaborated material were deposited in Mineralogical-petrographic department of Croatian Natural History Museum.

TABLA — PLATE I

1. Reliktna ofitska struktura
  2. Izmijenjeni fenokristal augita
  3. Mandula ispunjena kalcitom
- 
1. Relict ophitic texture
  2. Altered Augite phenocrystal
  3. Amygdal with calcite

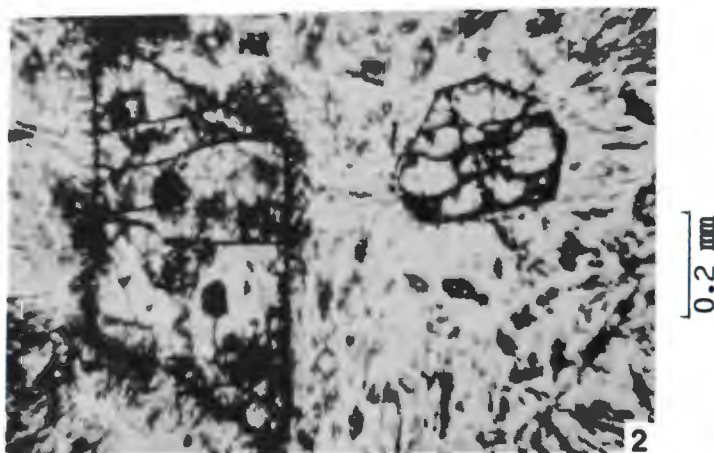
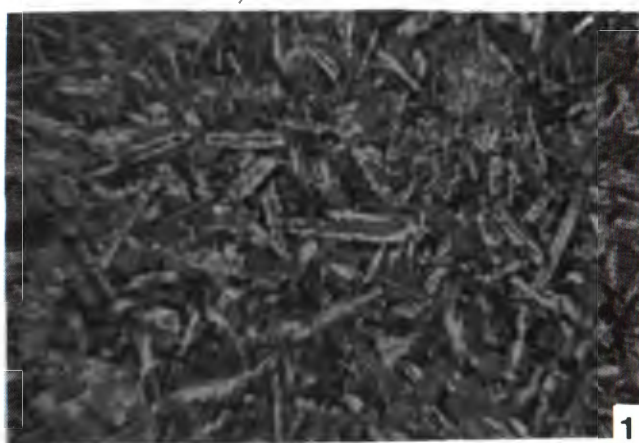


TABLA — PLATE II

1. Spilitska breča
  2. Krupnozrnati spilit
  3. Krupnozrnati spilit među ukrštenim nikolima
- 
1. Spilite breccia
  2. Coarse-grained spilite
  3. Coarse-grained spilite N+

